

## • 病例报道 •

## 原发性子宫内膜异位起源肝样腺癌

邱健鸿,徐丽莹

【关键词】 腺癌; 子宫内膜异位症; 甲胎蛋白; 磁共振成像

【中图分类号】 R730.261;R711.71;R73—3;R445.2 【文献标志码】 D

【文章编号】 1000-0313(2023)10-1353-02

DOI:10.13609/j.cnki.1000-0313.2023.10.024

开放科学(资源服务)标识码(OSID):

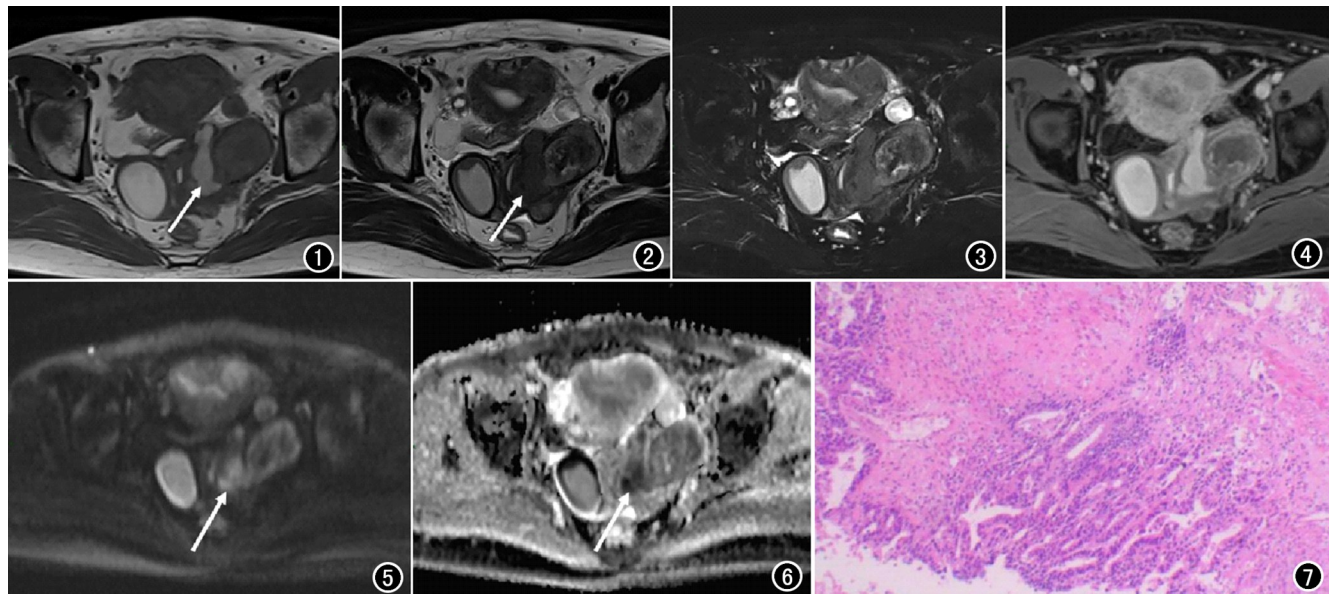


图 1 盆腔 T<sub>1</sub>WI 平扫: 肿块呈混杂信号影, 内见条片状短 T<sub>1</sub> 信号影(箭)。图 2 T<sub>2</sub>WI 示肿块信号不均, 短 T<sub>1</sub> 信号对应部位呈短 T<sub>2</sub> 信号影(箭)。图 3 脂肪抑制 T<sub>2</sub>WI 未见明显信号减低区。图 4 增强后肿块呈不均匀强化。图 5 DWI( $b=1000$ )示肿瘤局部呈高信号(箭)。图 6 ADC 示肿瘤对应部分呈低信号(箭)。图 7 术后病理示肿瘤平滑肌组织内见腺癌浸润伴大片坏死(HE $\times 40$ )。

**病例资料** 患者, 42岁, 女。实验室检查 AFP 4267.76 ng/mL; CA199 45.95 U/mL。盆腔 MRI 示子宫后方偏左侧一不规则肿块影, 信号不均匀, 呈 T<sub>1</sub>WI、T<sub>2</sub>WI 混杂信号影, 大小约 11 cm × 6 cm × 5 cm, 肿块与子宫后壁分界欠清(图 1~3)。增强: 肿块呈不均匀轻度强化(图 4)。DWI: 盆腔肿块实质部分呈弥散受限高信号, 对应 ADC 值减低(图 5、6)。术中见子宫后方肌瘤样组织与子宫后壁致密粘连, 双侧附件未见明显异常。病理结果: 肿瘤平滑肌组织内见腺癌浸润伴大片坏死(图 7)。免疫组化检测, 肿瘤细胞:PAX8(−), CK7(+), CK(+), ER(−), PR(−),

Ki-67(Li: 80%), P53(突变型), WT-1(−), P16(局部+), P504S(灶+), NapsinA(−), HNF1 $\beta$ (−), VIM-ENTIN(−), calretinin(−), CK5/6(−), EBER(原位杂交)(−), CD56(灶+), CgA(−), SYN(−), GATA-3(−), S-100(−), SALL4(+), Glypican-3(灶+), AFP(+), EMA(−), CK19(+), Hepatocyte(灶+), Arginase-1(灶+), CK8/18(+), MOC31(+). 考虑肝样腺癌。鉴于镜下见子宫内膜异位症图像, 考虑肿瘤来源于子宫内膜。

**讨论** 肝样腺癌 (hepatoid adenocarcinoma, HAC) 是一种罕见的肝外恶性肿瘤, 肝样腺癌是一种组织学上类似于肝细胞癌的肿瘤<sup>[1]</sup>。据报道 HAC 可发生在胃肠道、胰腺、肺、卵巢、胆囊、子宫等。这些部位中胃是 HAC 最常见部位<sup>[2]</sup>。组织学上 HAC 具有与肝细胞癌相似的形态学和免疫组织化学特征<sup>[3]</sup>。原

作者单位:430071 武汉,武汉大学中南医院医学影像科  
作者简介:邱健鸿(1995—),男,河南开封人,硕士研究生,住院医师,主要从事心胸乳腺专业影像学诊断工作。

通讯作者:徐丽莹,E-mail:aying0923@foxmail.com

发于子宫内膜异位症的 HAC 十分罕见, 目前只有 1 篇由子宫内膜异位症起源的卵巢透明细胞癌合并 HAC 报道<sup>[4]</sup>。HAC 患者的显著特点是肿瘤细胞可分泌甲胎蛋白, 血清 AFP 水平可用来监测该疾病的发生、发展及预后情况<sup>[5]</sup>。少部分病例报道中 HAC 患者无明显 AFP 升高<sup>[6]</sup>。

**鉴别诊断**①卵黄囊瘤: 以实性为主的囊实质性肿块, 肿瘤血供丰富, 肿瘤内易出现出血及坏死。CT 平扫一般呈等低混杂密度, MRI 平扫 T<sub>1</sub>WI 呈等低信号, T<sub>2</sub>WI 呈不同程度的高信号, CT 及 MRI 增强肿瘤显著强化, 其特征性表现为亮点征(肿瘤内部明显强化的小点状或管状影)或血管流空信号<sup>[7]</sup>。②无性细胞瘤: 好发于儿童及青年女性, CT 平扫呈不规则混杂稍低密度影, MRI 表现为 T<sub>1</sub>WI 呈等低信号, T<sub>2</sub>WI 呈等或稍高信号, 纤维血管分隔在 T<sub>1</sub>WI 和 T<sub>2</sub>WI 呈典型低信号。增强检查特征性表现为实性肿块内见明显强化的条索状分隔<sup>[8-9]</sup>。③子宫内膜异位症: 表现为局部增厚软组织影, 类似于肿瘤性病变, T<sub>1</sub>WI 多为中等信号, 含出血时呈高信号, T<sub>2</sub>WI 呈低信号。增强扫描病灶不均匀强化<sup>[10]</sup>。④子宫肌瘤: 浆膜下子宫肌瘤及阔韧带子宫肌瘤表面仅覆盖少许肌壁和浆膜, 在部分切面上可与子宫分离, 酷似盆腔或卵巢肿块。肌瘤其密度及信号取决于有无变性, 当肌瘤存在变性时, T<sub>2</sub>WI 呈等高混杂信号, DWI 上呈高信号, ADC 值较低, 增强后呈明显不均匀强化<sup>[11]</sup>。

综上所述, 原发性盆腔子宫内膜异位症起源的 HAC 十分罕见, 临床及影像学表现缺乏特异性, 当发现伴随血清甲胎蛋白明显升高时应考虑 HAC 可能。目前该治疗方法一般采取以手术治疗为主, 放化疗为辅的综合治疗。HAC 具有高度侵袭性, 恶性程度

高, 易早期转移, 预后差的特点<sup>[12]</sup>。因此早期诊断及治疗对其预后具有重要意义。

#### 参考文献:

- [1] Kato K, et al. Primary hepatoid adenocarcinoma of the uterine cervix[J]. Int J Gynecol Cancer, 2007, 17(5): 1150-1154.
- [2] 黄爱娜, 陆健, 曾蒙苏, 等. 胃外肝样腺癌的影像学诊断[J]. 放射学实践, 2022, 37(9): 1092-1097.
- [3] Xia R, et al. Hepatoid adenocarcinoma of the stomach: current perspectives and new developments [J]. Front Oncol, 2021, 11: 633916.
- [4] Takahashi Y, et al. Alpha-fetoprotein producing ovarian clear cell carcinoma with a neometaplasia to hepatoid carcinoma arising from endometriosis: a case report [J]. J Obstet Gynaecol Res, 2011, 37(12): 1842-1846.
- [5] Wu QY, et al. Endometrial hepatoid adenocarcinoma: a rare cause of elevated serum  $\alpha$ -fetoprotein[J]. J Obstet Gynaecol Res, 2014, 40(3): 873-877.
- [6] Lin J, et al. Non- $\alpha$ -fetoprotein-producing adrenal hepatoid adenocarcinoma: A case report and literature review[J]. Medicine (Baltimore), 2018, 97(39): e12336.
- [7] 谢紫东, 王成名, 卢绍路. 卵黄囊瘤的 CT、MRI 诊断与误诊分析[J]. 中国性科学, 2019, 28(7): 15-19.
- [8] 廖江, 陈加优, 郑祥, 等. 卵巢无性细胞瘤的影像学表现与病理对照研究[J]. 临床放射学杂志, 2020, 39(12): 2486-2489.
- [9] 孙群维, 史铁梅, 杨思, 等. 卵巢无性细胞瘤临床病理与影像学表现对照研究[J]. 中国医学影像学杂志, 2013, 21(7): 549-551.
- [10] Foti PV, Farina R, Palmucci S, et al. Endometriosis: clinical features, MR imaging findings and pathologic correlation [J]. Insights Imaging, 2018, 9(2): 149-172.
- [11] 宋杰, 曹子龙, 王春立, 等. 浆膜下蒂状粘液变性子宫肌瘤的 MRI 诊断及鉴别诊断[J]. 放射学实践, 2021, 36(1): 108-111.
- [12] 殷敏, 杨佳欣. 原发性卵巢肝样腺癌 1 例[J]. 肿瘤学杂志, 2022, 28(3): 243-245.

(收稿日期: 2022-09-30 修回日期: 2023-01-08)